



## تولید پوشش نانو کامپوزیتی یکنواخت پلی پیروول نانولوله کربنی/ اکسید کادمیم برای محافظت از خوردگی فولاد زنگ نزن آستینیتی 304

محمدعلی صرفه‌جو<sup>۱</sup>، علیرضا محمودیان<sup>۲\*</sup>، داریوش افضلی گروه<sup>۳</sup>

۱- دانشجوی کارشناسی ارشد، مهندسی مواد، دانشکده علوم و فناوری، دانشگاه تحصیلات تکمیلی صنعتی و فناوری پیشرفت، کرمان

۲- استادیار گروه فلزات، پژوهشکده مواد، پژوهشگاه علوم و تکنولوژی پیشرفت و علوم محیطی، دانشگاه تحصیلات تکمیلی صنعتی و فناوری پیشرفت، کرمان

۳- دانشیار بخش شیمی، پژوهشگاه علوم و تکنولوژی پیشرفت و علوم محیطی، دانشگاه تحصیلات تکمیلی صنعتی و فناوری پیشرفت، کرمان

\* کرمان، صندوق پستی 76315-117، a.mahmoudian@kgut.ac.ir

### چکیده

در این پژوهش یک فیلم یکنواخت پلی پیروول اکسید کادمیم / نانولوله کربنی برای محافظت از فولاد زنگ نزن آستینیتی 304 در مقابل خوردگی در محیط اسیدی ۰.۵ مولار هیدروکلریک اسید تولید شد. برای این منظور از روش رسوب شیمیایی برای سنتز CNT/CdO استفاده شد. از روش سنتز الکتروشیمیایی برای پوشش دهی سطح فولاد و یافتن شرایط بهینه آن استفاده شد. از آزمون و امپانس الکتروشیمیایی برای به دست آوردن میزان بهینه نانوکامپوزیت استفاده شد. برای بررسی‌های مورفولوژیکی از میکروسکوپ نوری و میکروسکوپ الکترونی رویشی SEM استفاده شد. نتایج نشان می‌دهند که نانوکامپوزیت نهایی از مقاومت خوبی در مقابل خوردگی برخوردار است و وجود CNT/CdO درزمه‌ی پلیمری میزان تخلخل فیلم پوششی را کاهش داد. همچنین نتایج بیان کردند که چگالی جریان بهینه اعمالی برای پوشش دهی و pH بهینه برای آماده‌سازی محلول الکتروپلیمریزاسیون به ترتیب مقدار ۴mA/cm<sup>2</sup> و ۹ است. مقدار ۰.۵% وزنی- حجمی نانولوله کربنی عامل دار شده با اکسید کادمیم بهینه تقویت‌کننده نانو کامپوزیتی در زمینه پلی پیروول تعیین شد. پوشش نانوکامپوزیت پلی پیروول نانولوله کربنی/ اکسید کادمیم تشکیل شده بر سطح فولاد زنگ نزن آستینیتی 304 بیش از ۹۲.۵٪ از خوردگی آن در محلول ۰.۵ مولار هیدروکلریک اسید محافظت کرد.

### اطلاعات مقاله

دریافت: ۹۶/۵/۷

پذیرش: ۹۶/۹/۶

کلیدواژه‌گان:

پلاریزاسیون

نانولوله کربنی/ اکسید کادمیم

پلی پیروول

مورفولوژی

## Production of uniform nanocomposite coating of polypyrrole carbon nanotube/cadmium oxide to protect corrosion of austenitic stainless steel 304

Mohammad Ali Sarfejoo, Ali Reza Mahmoudian\*, Daryoosh Afzali Goroh

Department of materials engineering, Graduate University of Advanced Technology, Kerman.

\* P.O.B. 76315-117, Kerman, Iran, a.mahmoudian@kgut.ac.ir

### Keywords

Polarization  
Carbon nanotube/Cadmium Oxide  
Polypyrrole  
Morphology

### Abstract

In this research, a uniform film of polypyrrole/CNT/cadmium oxide nanocomposite was produced to protect the austenitic stainless steel 304 against corrosion in 0.5 molar hydrochloric acid medium. For this purpose, the chemical deposition method was used for CNT / CdO synthesis. Electrochemical synthesis method was used to coat the stainless steel and to find optimal coating conditions. Electrochemical impedance spectroscopy test was used to find the optimum amount of reinforcement nanocomposite. Optical microscope and scanning electron microscope (SEM) were used to study the morphology of coating. Results showed that the final nano composite had a remarkable corrosion resistance and the presence of CNT / CdO reduced the porosities in the final polymer film. Also coating results showed that the optimum amount of apply current density and pH for electropolymerization were 4mA/cm<sup>2</sup> and 9 respectively. The 0.5% weight-volumetric functionalized carbon nanotube with Cadmium Oxide was determined as optimum amount of nano composite reinforcement using a polypyrrole matrix. Polypyrrole Carbon nanotube/Cadmium Oxide nanocomposite coating on the surface of austenitic stainless steel 304 protected more than 92.5% against corrosion in a 0.5 M solution hydrochloric acid

### ۱- مقدمه

پلی پیروول یک پلیمر رسانست که در چند دهه اخیر مورد توجه بسیاری از محققان قرار گرفته است. این پلیمر در صنایع مختلف از جمله صنایع نوری، الکترونیکی و در سال‌های اخیر در صنعت برای محافظت از خوردگی کاربرد زیادی یافته است [۱]. پلیمریزاسیون پلی پیروول با اکسایش مونومر آن به روش‌های گوناگونی از جمله شیمیایی [۲]، الکتروشیمیایی [۳] و پلاسمای [۴, ۵] انجام پذیر است. در روش شیمیایی از

Please cite this article using:

Sarfejoo, M. A. Mahmoudian, A. R. and Afzali-Goroh, D., "Production of uniform nanocomposite coating of polypyrrole carbon nanotube/ cadmium oxide to protect corrosion of austenitic stainless steel 304", In Persian, Journal of Science and Technology of Composites, Vol. 5, No. 3, pp. 377-386, 2018.

برای ارجاع به این مقاله از عبارت زیر استفاده نمایید:

الکتروپلیمریزاسیون پلی پیروول و جریان یافتن آن‌ها به همراه مونومرهای پیروول به سطح فولاد زنگ نزن آستینیتی 304 برای محافظت از خوردگی آن استفاده شده است.

پلیمرهای رسانا به دلیل انتقال الکترون با ایجاد یک مکانیزم محافظت آندی از خوردگی جلوگیری می‌کنند، اما این پلیمرها از خواص مکانیکی مطلوبی برخوردار نیستند و به صورت خالص از یکنواختی کمی برخوردارند لذا استفاده از مواد افزودنی برای افزایش یکنواختی و بهبود خواص مکانیکی آن ضروری به نظر می‌رسد. از طرفی مواد افزودنی مورد استفاده نباید تغییر مانع از رسانایی الکتریکی این پوشش‌ها گردد، به همین منظور در این تحقیق از نانولوله‌های کربنی عامل دار شده با اکسید کادمیم استفاده شده است. اکسید کادمیم به عنوان یک ماده دارای ساختار سرامیکی نیمه‌رسانا علاوه بر ایجاد خواص مکانیکی و حرارتی مطلوب در پوشش، به رسانندگی پوشش لطمه چندانی وارد نمی‌سازد. همچنین نانولوله‌های کربنی می‌توانند با ایجاد یک زنجیره‌ی بهم‌پیوسته به یکنواختی پوشش کمک نمایند.

## 2-مواد و روش‌ها

پیروول استفاده شده، با فرمول  $C_4H_5N$  و جرم حجمی  $0.987 \text{ gr/cm}^3$  با خلوص تقریبی ۱۰۰٪ از شرکت مرک خریداری شد. در شرایطی که بین انجام آزمایش‌ها وقفه زمانی طولانی ایجاد می‌شد، قبل از مصرف پیروول، ابتدا دو بار تقطیر می‌شد. سایر مواد مصرفی شامل آسید‌سولفوریک، با خلوص ۹۸٪ و جرم حجمی ۱.۸۴، اسید کلریدریک با خلوص ۳۷٪ و سود خالص همگی از شرکت مرک تهیه شدند. همچنین به منظور سنتز نانوکامپوزیت اکسید کادمیم/CNT از نانولوله کربنی چند دیواره خریداری شده از شرکت تحقیقات نانو مواد آمریکا و از نمک نیترات کادمیم  $Cd(NO_3)_2$  از محصولات شرکت سیگما آلدريج استفاده شده است. فولاد زنگ نزن آستینیتی 304 به صورت ورق با ضخامت ۳ میلی‌متر تهیه شد. برای حصول اطمینان از ترکیب شیمیایی نمونه، آنالیز کواتومتری انجام شد که نتیجه آن در جدول شماره ۱ نشان داده شده است. ساخت الکترود کار از فولاد زنگ نزن ۳۰۴ ابتدا با برش ورق فولادی به شکل مربع‌هایی با ابعاد  $1\text{cm} \times 1\text{cm}^2$  آغاز شد و با لحیم کردن سیم مسی به آن و عایق کردن همه وجهه به‌جز وجه اصلی با استفاده از مانت گرم ادامه یافت و با پولیش سطح توسط سمباده‌های ۲۲۰، ۵۰۰، ۸۰۰، ۱۲۰۰ و ۲۰۰۰ به پایان رسید. برای چربی زدایی از سطح الکترود کار در مرحله پایانی از محلول ۱ به ۱ استون اتانول استفاده شد.

واکنش‌های پلیمریزاسیون الکتروشیمیایی پلی پیروول توسط دستگاه پتانسیواستات/گالوانوستات Autolab مدل 302 PGSTAT هماهنگ شده با نرم‌افزار NOVA و رژیم ۱.۸ استفاده شد. پوشش دهی طبق روش اعمال جریان ثابت صورت پذیرفت. آزمون پلاریزاسیون الکتروشیمیایی تألفی نیز توسط همین دستگاه در محیط ۰.۵ مولار هیدروکلریک اسید انجام شد.

ساختاری کاملاً متفاوت با دو روش قبلی است، به پلیمریزاسیون پلاسما شناخته شده است [۷]. پیروول به دلیل دارا بودن خواص گوناگون چون رسانایی الکتریکی، پایداری حرارتی، چگالی کم و... در صنایع مختلف ساخت خازن‌ها، باتری‌های قابل شارژ، محافظت از خوردگی و... کاربرد یافته است [۱۰-۱۲]. درروش الکتروشیمیایی سنتز این پلیمر، کامپوزیت‌های مختلف شامل زمینه‌ی پلی پیروول و افزودنی‌هایی چون آلوتروپ‌های مختلف کربن و نانو ذرات سرامیکی استفاده شده است [۱۵].

نانولوله کربنی یک آلوتروپ تک‌بعدی از کربن است که به صورت گرافن استوانه‌ای تشکیل می‌گردد و می‌تواند تک دیواره یا چند دیواره باشد [۱۳]. نانولوله‌ها دارای خواص بسیار مطلوبی چون استحکام بالا، انعطاف‌پذیری، قابلیت پیچش خوب و به طور کلی خواص مکانیکی [۱۴]، خواص شیمیایی [۱۷] و خواص الکتریکی مناسب هستند و از برترین خواص نانولوله‌های کربنی می‌توان به قدرت رسانایی الکتریکی بالا [۵,۶] و چگالی جریان مجاز عبوری زیاد [۱۸] آن‌ها اشاره نمود که باسته به نظم چیده شدن اتم‌های کربن در آن هستند و می‌توانند بسیار متغیر باشند [۱۹]. این خواص منحصر به فرد نانولوله‌های کربنی آن‌ها را در حوزه‌های گوناگونی چون نشر میدان [۲۰]، پروب حس‌گرهای اندازه‌گیری و روشنی [۲۱]، نانو الکترونیک [۸,۷]، سلول‌های خورشیدی [۲۲]، عملیات بیولوژیکی [۲۳] و... پرکاربرد نموده است. در ادامه روند تحقیقات بر روی نانولوله‌های کربنی محققان تلاش کرده‌اند این خواص را با استفاده از کامپوزیت کردن آن‌ها به همراه دیگر مواد به حد اعلی خود برسانند که از این پژوهش‌ها می‌توان به تولید نانوکامپوزیت PAMAM/CNT به منظور حذف یون‌های فلزی سنگین از آب فاضلاب [۲۴]، سنتز نانوکامپوزیت MnO<sub>2</sub>/acid-treated CNT ذخیره کننده انرژی [۱۵] [۲۵, ۱۶, ۱۵]... اشاره نمود.

تحقیقات در حوزه‌ی مقاومت به خوردگی پوشش‌های پلیمری رسانا با سنتز شیمیایی آنلین بر روی سطح فولاد زنگ نزن فریتی توسط دیبری آغاز شد و به سرعت توسعه یافت و ادامه روند این حوزه از تحقیقات از کامپوزیت کردن آن‌ها با دیگر مواد می‌توان به کامپوزیت پلی پیروول اکسید زیرکونیوم، کورشل کیتوسان و پلی پیروول سیلیس و همچنین پلی پیروول/گرافن/یون‌های نادر موجود در خاک/دودسیل بنزن سولفونیک اسید اشاره کرد که گاه‌ها تا ۹۸٪ از خوردگی فلزات جلوگیری نموده‌اند [۲۹-۲۶].

در مشابه‌ترین تحقیق به بررسی حاضر محققان از نانولوله‌های سیلیسیم کامپوزیت شده با ترکیبات I-HAP به روش التراسونیک و سپس نفوذ آن‌ها به درون لایه‌ی پلی پیروول تولید شده به روش الکتروشیمیایی با روش الکتروفورتیک دیپوزیشن برای محافظت از خوردگی فولاد زنگ نزن آستینیتی ۳۱۶ مورد استفاده در ایمپلنت‌ها استفاده کرده‌اند و به ضریب حفاظتی ۹۷٪ دست یافته‌اند [۳۰]. در این تحقیق از روش ساده‌ی هم رسوی شیمیایی برای کامپوزیت کردن نانولوله‌های کربنی با اکسید کادمیم و همچنین از روش ساده‌ی تک‌مرحله‌ای دیسپرس کردن نانولوله‌های کربنی عامل دار شده در محلول

جدول ۱ ترکیب شیمیایی فولاد زنگ نزن آستینیتی ۳۰۴ پایه به دست آمده از آنالیز کواتومتر

Table ۱ Result of EDS analyses of basic austenitic stainless steel 304 composition

Others	Co	Ni	Mo	Cr	Mn	Si	C	Fe	Element
≤0.81	0.19	10.1	0.29	18.2	1.73	0.24	0.05	68.4	Concentration

الکتروپلیمریزاسیون پلی پیروول درآمده است استفاده شد و عیناً مراحل پوشش دهی پلی پیروول در چگالی جریان بهینه تکرار گردید.

#### 4- آزمون امپدانس الکتروشیمیایی

برای مطالعات خوردگی به روش امپدانس الکتروشیمیایی، الکترود کار مانند روش پلاریزاسیون آماده شد و پس از قرار دادن الکترود در محلول نیم مolar هیدروکلریک اسید، مطالعات در پتانسیل خوردگی و در محدوده فرکانس بین 0.001 هرتز تا 100 کیلوهرتز و با اعمال پتانسیل مدارباز انجام گرفت و درنهایت نمودار نایکوئیست رسم شد.

### نتایج و بحث

#### 1- آنالیز XRD

نتایج حاصل از آنالیز XRD محلول نهایی سنتز نانوکامپوزیت نانولوله کربنی/اکسید کادمیم در شکل 1 آورده شده است. همان‌گونه که از شکل 1 مشخص است در محدوده 20 بین 18 تا 23 درجه‌یک پیک باشد کم و پهنای زیاد مشاهده می‌گردد که با مقایسه آن با نمودارهای XRD ارائه شده در تحقیقات علی بداوي و همکارانش و همچنین جینکوی فنگ و همکارانش می‌تواند مربوط به صفحات بدنه نانولوله‌های کربنی باشد<sup>[32,31]</sup>. همچنین پیک‌های ایجادشده در 20<sup>۲</sup> ها 33.2، 33.4، 38.4، 55.4 و 69.45 و 66.07 مolar کادمیم نیترات به حجم 50 میلی‌لیتر تهیه گردید و با دبی تقریبی 0.25 میلار کادمیم نیترات به محلول اولیه اضافه و به صورت مداوم هم زده شد. پس از اتمام کار رسوب ایجادشده توسط سانتریفیوژ از محلول جداسازی گردید و شستشو داده شد تا pH آن به مقدار تقریباً خنثی برسد. سپس به مدت 24 ساعت در دمای 100 درجه سانتی‌گراد خشک گردید. در مرحله نهایی تبدیل کادمیم هیدروکسید حاصل به اکسید کادمیم، در کوره در دمای 450 درجه سانتی‌گراد به مدت یک ساعت پخت داده شد و پس از سرد شدن توسط آسیاب به خوبی خرد گردید. به‌منظور تأیید سنتز صحیح و به دست آوردن اندازه نانو ذرات اکسید کادمیم حاصل بر روی سطح بدنه نانولوله‌های کربنی از آنالیز XRD با تیوب تولیدکننده K<sub>2</sub>X'Pert HighScore هماهنگ شده استفاده شد و تحلیل گرافها نیز با همین نرمافزار صورت گرفت. برای به دست آوردن اندازه ذرات (D) توسط آنالیز XRD از فرمول دبای\_شتر استفاده شد (فرمول (1)) که بر اساس عرض پیک در نصف شدت بیشینه (β)، زاویه برآگ مربوط به بزرگ‌ترین پیک (θ)، k ضریب شکل بلور و (λ) طول موج پرتوی ایکس، استفاده شد.

$$D = \frac{k \times \lambda}{\beta \cos \theta} \quad (1)$$

2- الکتروپلیمریزاسیون پلی پیروول

فرآیند الکتروپلیمریزاسیون پلی پیروول توسط یک سل الکتروشیمیایی سه الکترودی شامل الکترود کار، الکترود مرجع کالولم و الکترود شمارنده پلاتین و توسط محلول 0.3 مولار اسیدسولفوریک و 0.1 مولار مونومر پیروول که pH آن توسط سود تنظیم شد به روش اعمال چگالی جریان ثابت و در یک بازه زمانی 15 دقیقه‌ای صورت پذیرفت. برای به دست آوردن بهینه چگالی جریان پوشش دهی از چگالی‌های جریان 2، 4، 6 و 8 میلی‌آمپر بر سانتی‌متر مربع استفاده گردید. از طرفی برای به دست آوردن بهینه pH محلول پوشش دهی از pHهای 5، 7، 9 و 11 استفاده گردید.

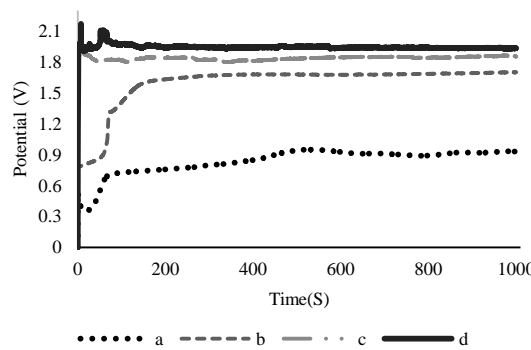
3- الکتروپلیمریزاسیون پلی پیروول نانولوله کربنی / اکسید کادمیم

بدین منظور از درصدهای وزنی حجمی 0.02، 0.05، 0.1 و 1 از نانوکامپوزیت نانولوله کربنی / اکسید کادمیم که به صورت یک سوسپانسیون در محلول

#### 2- بررسی مورفولوژیکی برای به دست آوردن بهینه pH محلول پوشش دهی

pH به عنوان یک پارامتر مؤثر بر مورفولوژی و نحوه پوشش دهی و درنتیجه، خواص نهایی محافظتی خوردگی است، لذا نیاز به تعیین یک مقدار بهینه دارد. در این تحقیق از محلول‌های الکتروپلیمریزاسیون در pH های 9، 5 و 11 در دمای محیط و تحت چگالی جریان 6 میلی‌آمپر بر سانتی‌متر مربع و در یک بازه زمانی 900 ثانیه‌ای پوشش دهی استفاده شد.

از شکل 2 مشخص است که مورفولوژی پیروول در حالت پوشش دهی در محلول اسیدی به صورت دانه‌ای بسیار ریز است که با نتایج تحقیقات گذشته مطابقت دارد<sup>[33]</sup>. فرآیند جوانه‌زنی در محیط‌های اسیدی به سرعت اتفاق می‌افتد و منجر به تشکیل دانه‌های ریز می‌شود. سطح الکترود کار از این



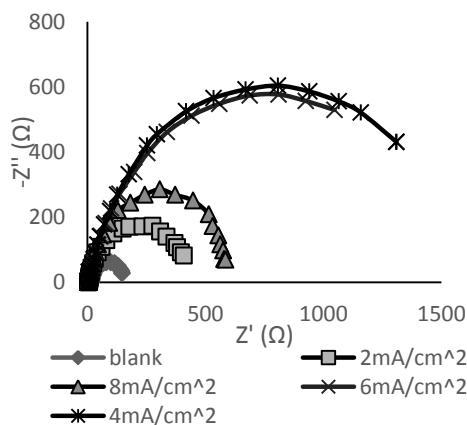
**Fig. 3** Time\_Potential diagram, with current densities a)  $2\text{mA}/\text{cm}^2$ , b)  $4\text{mA}/\text{cm}^2$ , c)  $6\text{mA}/\text{cm}^2$  & d)  $8\text{mA}/\text{cm}^2$

شکل 3 نمودار پتانسیل\_زمان مربوط به چگالی‌های جریان(a)  $2\text{mA}/\text{cm}^2$  و  $8\text{mA}/\text{cm}^2$  (b)  $2\text{mA}/\text{cm}^2$  و  $4\text{mA}/\text{cm}^2$  (c)  $6\text{mA}/\text{cm}^2$  (d)

#### 4-3 بررسی بهینه چگالی جریان پوشش دهنده با اندازه‌گیری امپدانس الکتروشیمیابی

از نمونه‌های پوشش داده شده و نمونه بدون پوشش در محلول نیم مولار هیدروکلریک اسید آزمون امپدانس الکتروشیمیابی گرفته شد. در شکل 4 نمودار نایکوئیست مربوط به نمونه شاهد در کنار نمونه‌های پوشش داده شده با چگالی‌های جریان مختلف آمده است. همان‌گونه که مشاهده می‌گردد الگوی تمامی نمونه‌های پوشش داده شده و نمونه بدون پوشش تقریباً یکسان است و نمونه‌های پوشش داده شده از  $Z'$  و  $Z''$  بیشتری نسبت به نمونه شاهد برخوردارند و بیشترین میزان امپدانس مربوط به نمونه پوشش داده شده با چگالی جریان  $4\text{mA}/\text{cm}^2$  است که نتایج آزمون پلاریزاسیون را تائید می‌کند.

منحنی نایکوئیست برای نمونه‌ی بدون پوشش و نمونه‌ی پوشش داده شده به ترتیب با مدارات معادل نشان داده شده در شکل 5 و شکل 6 که در آن  $R_s$ : مقاومت محلول،  $R_C$ : مقاومت انتقال بار،  $Q$ : عنصر فارثایت،  $R_f$ : مقاومت پوشش و  $C_e$ : خازن لایه پوشش است با نرمافزار Z Simp Win تطبیق داده شد.



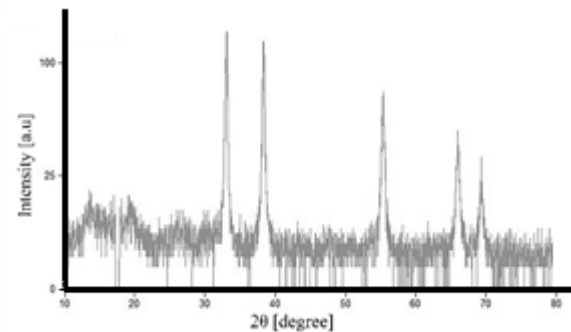
**Fig 4** Nyquist chart of control sample and coated samples with different current densities

شکل 4 نمودار نایکوئیست نمونه شاهد و نمونه‌های پوشش داده شده با چگالی جریان‌های مختلف

دانه‌ها پوشیده شده است و در مرز دانه‌ها، به دلیل پلیمریزاسیون ناقص و عدم وجود پیوند کامل بین پیرول موجود در دو دانه مجاور هم مکان‌های حاوی ترک و میکرو ترک به وجود آمده است. در pH خنثی مورفولوژی پوشش از حالت دانه‌ای به شکل فیلمی تبدیل شد، اما میزان چروک‌های به وجود آمده در این فیلم بسیار زیاد بود و ترک‌هایی در لبه این چروک‌ها مشاهده شد که در شکل 2b با فلش نمایش داده شده است. با افزایش بازیسته محلول الکتروپلیمریزاسیون، از میزان این چروک‌ها کاسته شد، به گونه‌ای که در pH=9 میزان این چروک در پوشش حاصل بسیار کمتر از دیگر pH‌های پوشش دهنده است و یک فیلم به نسبت یکنواخت‌تر از بقیه نمونه‌ها تشکیل شد و با افزایش بیشتر pH و رسیدن به مقدار 11 پوشش به وجود آمده بر سطح دارای ناهمگنی‌های بیشتری می‌گردد (شکل 2d).

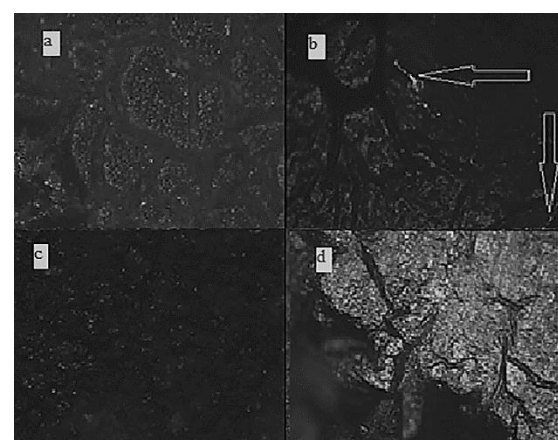
#### 3-3 نمودار پتانسیل\_زمان چگالی‌های جریان مختلف پوشش دهنده

شکل 3 نشان‌دهنده نمودار پتانسیل زمان مربوط به چگالی‌های جریان 2، 4، 6 و 8 میلی‌آمپر بر سانتی‌متر مربع نمونه‌های پوشش داده شده را نشان می‌دهد. همان‌گونه که در این شکل مشخص است نمونه پوشش داده شده با چگالی جریان 4 میلی‌آمپر بر سانتی‌متر مربع کاملاً به صورت صعودی است و کمترین میزان نوسانات را در پتانسیل باگذشت زمان پوشش دهنده دارد.



**Fig. 1** XRD pattern CNT/CdO powder

شکل 1 الگوی حاصل از آنالیز XRD پودر CNT/CdO



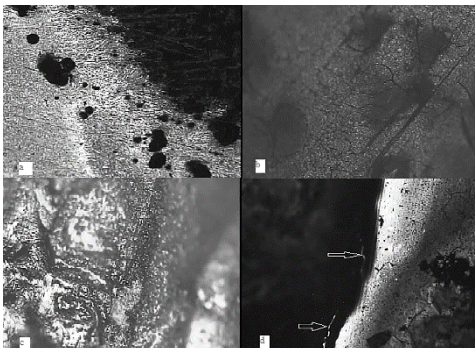
**Fig. 2** Optical microscope image at a magnification of around 50x for a) pH=5, b) pH=7, c) pH=9, d) pH=11

شکل 2 تصویر میکروسکوپ نوری در بزرگنمایی 50 برای (a) pH=5 (b) pH=7 (c) pH=9 (d) pH=11

نشان دهنده‌ی یک پوشش یکنواخت و کامل بر سطح فولاد است، نمونه پوشش داده شده با چگالی‌های جریان  $6\text{mA/cm}^2$  و  $8\text{mA/cm}^2$  به ترتیب در شکل 7c و 7d نشان داده شده است همان‌گونه که مشخص است در 7c نمونه دارای برجستگی‌های تاول مانند که با دایره نشان داده شده‌اند و در چگالی جریان  $8\text{mA/cm}^2$  پوشش دارای ترک است که با فلش نمایش داده شده‌اند و همچنین در نزدیکی این ترک‌ها مکان‌های وجود دارد که کاملاً از پیرول تهی است.

برای تصویربرداری میکروسکوپ الکترونی روبشی از سه نمونه پوشش داده شده با چگالی‌های جریان 2، 4 و 6 میلی‌آمپر بر سانتی‌متر مربع استفاده شد و نمونه پوشش داده شده با چگالی جریان 8 میلی‌آمپر بر سانتی‌متر مربع، به دلیل ترک و عدم تشکیل پیرول بر بعضی از مکان‌های سطح از ادامه آنالیز حذف شد.

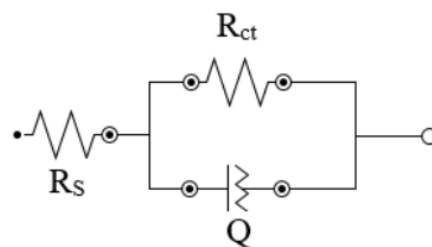
شکل 8 تصویر میکروسکوپ الکترونی روبشی را در بزرگنمایی 500 نشان می‌دهد. همان‌گونه که واضح است نمونه پوشش داده شده با چگالی جریان 2 میلی‌آمپر بر سانتی‌متر مربع پیرول در حال رشد است، نمونه پوشش داده شده با چگالی جریان 4 میلی‌آمپر بر سانتی‌متر مربع یک فیلم یکنواخت و با کمترین تخلخل به وجود آمد و پوشش دهی در چگالی جریان 6 میلی‌آمپر بر سانتی‌متر مربع فیلم پیرول ایجاد شده دارای تخلخل‌های بسیار بزرگ است.



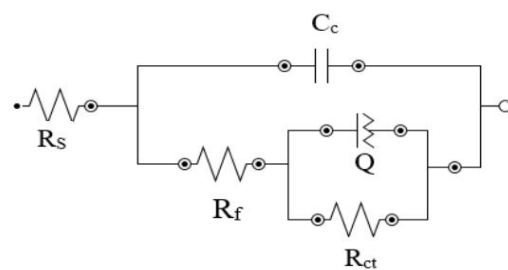
شکل 7 تصویر میکروسکوپ نوری در بزرگنمایی 100 برای نمونه‌های پوشش داده شده با چگالی‌های جریان مختلف (a)  $2\text{mA/cm}^2$  (b)  $4\text{mA/cm}^2$  (c)  $6\text{mA/cm}^2$  (d)  $8\text{mA/cm}^2$

### 3- بررسی و بینه‌سازی مقدار نانوکامپوزیت نانولوله کربنی / اکسید کادمیم مورداستفاده

در ادامه به منظور سنتز کامپوزیت نهایی از درصدهای وزنی-حجمی 0.02% و 0.1% و 0.5% از CNT/CdO در محلول بیان شده در بخش قبل برای انجام فرایند پوشش دهی استفاده شد. نمودار پتانسیل-زمان مربوط به الکتروپلیمریزاسیون پلی پیرول و پلی پیرول با درصدهای مختلف در شکل 9 آمده است. در مرحله ابتدایی تمام نمودارها با شروع فرایند در مدت زمان کوتاهی به یک حد بالایی از پتانسیل می‌رسند و سپس تقریباً ثابت می‌گردد. حد بالایی نمودار ابتدا با افزایش درصد CNT/CdO افزایش و مجدداً کاهش می‌یابد همچنین در نمونه‌های دارای حد بالایی نمودار با نوساناتی روبروست. این نوسانات با وجود استفاده از چگالی جریان 4 میلی‌آمپر بر سانتی‌متر مربع و با تکرار پذیری بالا به وجود



شکل 5 مدار معادل مورداستفاده جهت انطباق با طیف امپدانس بدست آمده از نمونه شاهد



شکل 6 مدار معادل مورداستفاده جهت انطباق با طیف‌های امپدانس بدست آمده برای نمونه‌های پوشش داده شده

با بررسی اجزای مدار معادل ارائه شده توسط نرم‌افزار پارامترهای مربوط به هر جزء در جدول 2 آمده است. همان‌طور که مشاهده می‌شود مقاومت انتقال بار از  $1234.1\text{K}\Omega\cdot\text{cm}^2$  برای نمونه بدون پوشش به  $147.5\text{K}\Omega\cdot\text{cm}^2$  برای نمونه پوشش داده شده با چگالی جریان  $4\text{mA/cm}^2$  افزایش قابل توجهی داشته است، همچنین مقاومت پوشش برای این نمونه  $16.45\Omega\cdot\text{cm}^2$  است که از تمامی نمونه‌های پوشش داده شده بالاتر است.

تغییرات  $R_{ct}$  و  $R_f$  مربوط به خودگی فلز پایه است [34] افزایش اولیه  $R_f$  و  $R_{ct}$  عمدتاً به سرعت تشکیل لایه اکسیدی بر سطح با توجه به افزایش چگالی جریان است و کاهش آن‌ها بعد از چگالی جریان بهینه عمدتاً مربوط به از دست رفتن حفاظت پوشش و ناشی از خودگی الکتروشیمیایی فولاد است. همچنین ظرفیت خازنی پوشش  $C_c$  یک پارامتر مهم در اندازه‌گیری یکپارچگی پوشش است و به توانایی جذب آب توسط پوشش مربوط می‌گردد. نفوذ یون‌های کلرید به درون لایه ای پوشش باعث کم شدن  $R_f$  و افزایش  $C_c$  می‌گردد [35]. همان‌طور که از جدول 2 مشخص است، کمترین ظرفیت خازنی مربوط به نمونه‌ی پوشش داده شده با چگالی جریان  $4\text{mA/cm}^2$  است که بیانگر یکپارچگی بیشتر این پوشش و وجود مکان‌های نفوذ کمتر الکتروولیت برای آن است که نتایج تصاویر میکروسکوپ الکترونی-روبشی را تائید می‌نماید. افزایش مجدد ظرفیت خازنی بیانگر از بین رفتن حفاظت پوشش و نفوذ الکتروولیت به درون پوشش است.

### 3- بررسی میکروسکوپی نمونه‌های پوشش داده شده با چگالی‌های جریان مختلف

شکل 7 تصویر میکروسکوپ نوری در بزرگنمایی 100 برای چگالی‌های جریان مختلف نشان می‌دهد. همان‌گونه که بهوضوح مشخص است در نمونه پوشش داده شده با چگالی جریان  $2\text{mA/cm}^2$  قسمتی از سطح پوشش داده شده است، شکل 7b تصویر مربوط به چگالی جریان  $4\text{mA/cm}^2$  به خوبی

سطح فلز است.

**جدول 2** پارامترهای اجزاء مدار معادل بدست آمده از نمونه شاهد و نمونه‌های پوشش داده شده با چگالی جریان‌های مختلف

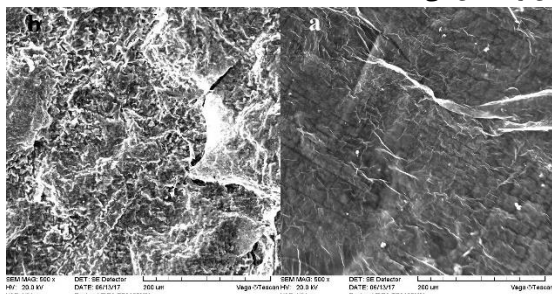
**Table 2** Parameters of the equivalent circuit components obtained from the control sample and the coated samples with different current densities

	$R_s$ ( $\Omega \cdot \text{cm}^2$ )	$C_c$ ( $\text{f} \cdot \text{cm}^{-2}$ )	$R_f$ ( $\Omega \cdot \text{cm}^2$ )	$R_{ct}$ ( $\text{K} \cdot \text{cm}^2$ )	Q n	$Y(\mu\text{f} \cdot \text{cm}^2)$	$PE(\%) = \frac{R_{ct} - R_{ct0}}{R_{ct0}} * 100$
Blank sample	14.7	--	--	147.5	0.8	$8.27 \cdot 10^{-5}$	--
2mA/cm <sup>2</sup>	13.23	$6.64 \cdot 10^{-8}$	15.84	395.8	0.8	$6.67 \cdot 10^{-5}$	62.7
4mA/cm <sup>2</sup>	12.5	$5.48 \cdot 10^{-8}$	16.45	1234.1	0.89	$26.4 \cdot 10^{-5}$	88.04
6mA/cm <sup>2</sup>	12.92	$8.23 \cdot 10^{-8}$	7.45	1049	0.84	$40.4 \cdot 10^{-5}$	85.93
8mA/cm <sup>2</sup>	11.56	$1.92 \cdot 10^{-7}$	9.76	599.7	0.81	$9.91 \cdot 10^{-5}$	75.4

1%

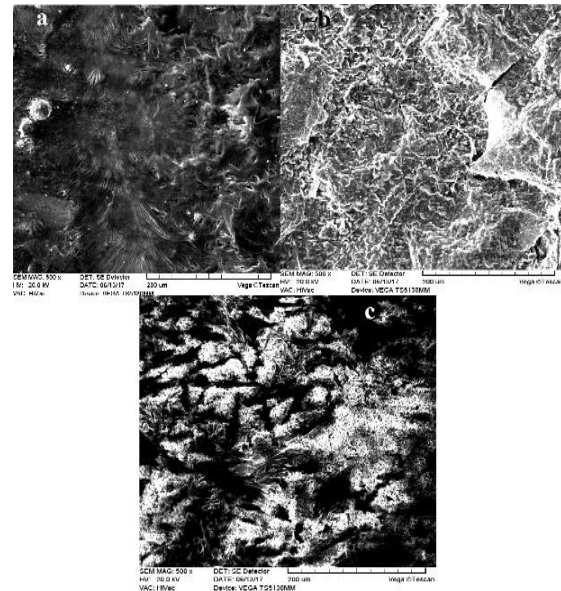
با افزایش درصد نانوکامپوزیت به محلول الکتروپلیمریزاسیون پلی پیرول، ابتدا پیرول با سرعت بیشتری بر سطح جوانهزنی و رشد می‌کند و سپس در درصدهای بسیار بالا نشست پیرول بر سطح الکترود کار با مشکل رو به رو می‌شود. با افزایش درصد نانوکامپوزیت CNT/CdO ابتدا رسانندگی الکتریکی بالا می‌رود که این موضوع باعث افزایش پتانسیل در شکل 6 شده است و سپس افزایش بیش از حد این نانوکامپوزیت از نشر و رسیدن پیرول به سطح الکترود کار جلوگیری می‌کند و سطح در برخی نقاط عاری از پوشش است.

شکل‌های 10 و 11 تصاویر میکروسکوپ الکترونی رویشی را برای حالات بهینه بدست آمده از بهینه‌سازی چگالی جریان پوشش دهی و بهینه‌سازی درصد مورده‌استفاده از مواد افزودنی را به ترتیب در بزرگنمایی‌های 500 و 2000 نشان می‌دهند. همان‌گونه که به‌وضوح مشخص است لایه پوششی به وجود آمده از پلی پیرول به همراه 0.5% وزنی از نانولوله کربنی / اکسید کادمیم (10b) و (11b) یک فیلم بسیار یکنواخت‌تر از پوشش پلی پیرول (شکل 10a و 11a) ایجاد می‌کند و تقریباً هیچ‌گونه حفره‌ای در این نمونه وجود ندارد این در حالی است که وجود نقاط تاریک و روشن در نمونه پوشش دهی شده با پلی پیرول خالص بیانگر وجود پستی‌ولبدنی در سطح پوشش اعمال شده است. نانولوله‌های کربنی عامل دار شده با افزایش رسانندگی پوشش می‌توانند به ایجاد فیلم محافظ آنده در سطح فلز کمک می‌کند و همچنین پس از آن در زمان فرارگیری در محیط خورنده می‌تواند با افزایش رسانندگی به انتقال سریع تر الکترون لازم برای برقراری مدار الکتروشیمیابی به دور از سطح از واکنش خودگری جلوگیری کند، اما اگر میزان این نانولوله‌های کربنی بیش از حد باشد سریعاً در محلول تهشیش شده و آگلومره می‌شوند و دو مرتبه چگالی جریان خودگری افزایش یافته و درصد بهره‌وری پوشش را کاهش می‌دهد.



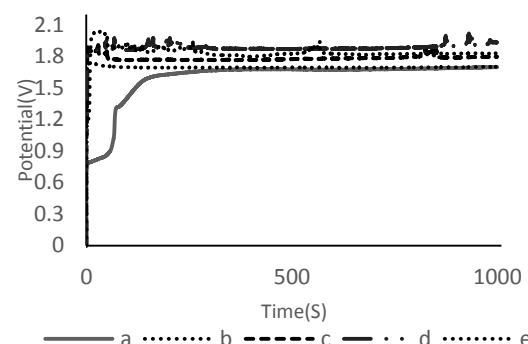
**Fig. 10** تصویر میکروسکوپ الکترونی رویشی SEM در مد se 500x برای نمونه‌های a) خالص پلی پیرول خالص و b) پوشش نانوکامپوزیت پلی پیرول

به (a) پوشش پلی پیرول خالص و (b) پوشش نانوکامپوزیت پلی پیرول نانولوله کربنی / اکسید کادمیم در بزرگنمایی 500



**Fig. 8** Scanning electron microscope image in se mode with a magnification of 500 for samples covered at three current densities, a) 2 mA/cm<sup>2</sup>, b) 5 mA/cm<sup>2</sup> & c) 7 mA/cm<sup>2</sup> at pH=9 and at the 900 seconds period

شکل 8 تصویر میکروسکوپ الکترونی رویشی SEM در مد se در pH=9 برای سه چگالی جریان پوشش دهی a) 2mA/cm<sup>2</sup> (b) 5mA/cm<sup>2</sup> (c) 7mA/cm<sup>2</sup> در 6mA/cm<sup>2</sup> برای یک بازه زمانی 900 ثانیه‌ای



**Fig. 9** Potential-Time diagram for electropolymerization: a) pour polypyrrole, polypyrrole CNT/CdO nanocomposite with different percentages b) 0.02% CNT/CdO, c) 0.1% CNT/CdO, d) 0.5% CNT/CdO & e) 1% CNT/CdO

شکل 9 نمودار پتانسیل\_زمان مربوط به الکتروپلیمریزاسیون (a) پلی پیرول CNT/CdO با درصدهای مختلف CNT/CdO (b) CNT/CdO 0.02% (c) CNT/CdO 0.1% (d) CNT/CdO 0.5% (e) CNT/CdO 1%

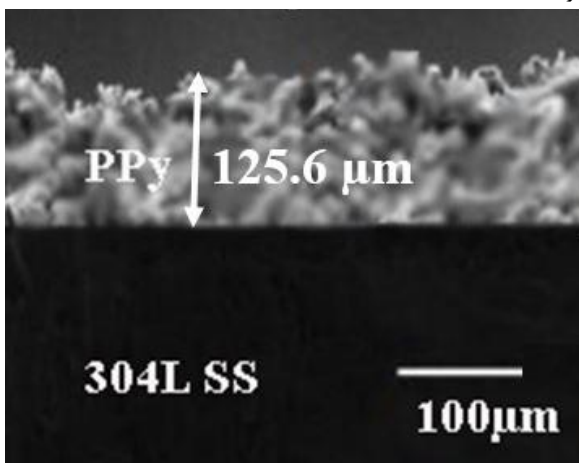
یافت. همچنین ظرفیت خازن نمونه پوشش داده شده با نانو کامپوزیت مقدار کمتری نسبت نمونه پوشش داده شده با پلی پیرول خالص است که نشانگر یکپارچگی بالاتر و نفوذ کمتر الکتروولیت به پوشش نانو کامپوزیت نسبت به پوشش پلی پیرول خالص است که با بررسی میزان تخلخل و یکنواختی این پوششها توسط میکروسکوپ الکترونی روشی مطابق است.

#### 8-3- بررسی ضخامت پوشش‌های تولیدشده

بررسی اندازه ضخامت پوشش‌ها با استفاده از مقطع برش و تصویر میکروسکوپ الکترونی روشی صورت پذیرفت. بدین منظور نمونه‌های پوشش داده شده با استفاده از میکرو برش به دقت به صورت مقطعی بریده شده و از سطح مقطع تصویر میکروسکوپ الکترونی گرفته شد و تصویر حاصله با استفاده از نرم‌افزار *image J* مورد بررسی قرار گرفت و ضخامت متوسط پوششها همان‌گونه که در شکل ۱۳ قابل مشاهده است حدود ۱۲۵.۶ میکرومتر تخمین زده شد.

#### 9-3- بدست آوردن زمان مناسب غوطه‌وری برای انجام آزمون‌های الکتروشیمیایی

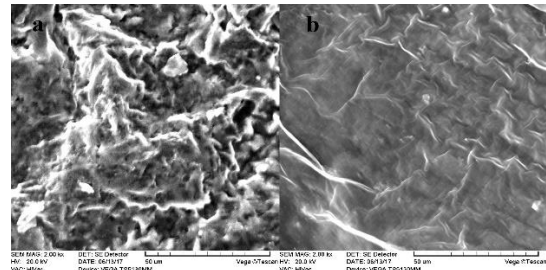
پتانسیل مدارباز مربوط به نمونه فولاد استنلس استیل 304 و نمونه فولادی مذکور با پوشش پلی پیرول خالص غوطه‌ور شده در محلول اسید کلریدریک نیم مولار با گذشت زمان اندازه‌گیری شد و نتایج حاصل در شکل ۱۴ ارائه شده است. همان‌طور که مشخص است پتانسیل مدارباز با گذشت زمان برای هر دو نمونه تا حدود ۶۵ دقیقه با کاهش شدید روبرو است و سپس تقریباً ثابت شده و ادامه می‌یابد. لذا از زمان ۹۰ دقیقه غوطه‌وری برای آزمون‌های الکتروشیمیایی استفاده شد تا پس از آن رفتار خودگزگشی فلز با کمترین تغییر مواجه باشد.



شکل ۱۳ تصویر میکروسکوپ الکترونی-روشی از سطح مقطع نمونه‌ی پوشش داده شده با نانو کامپوزیت

#### 4- نتایج

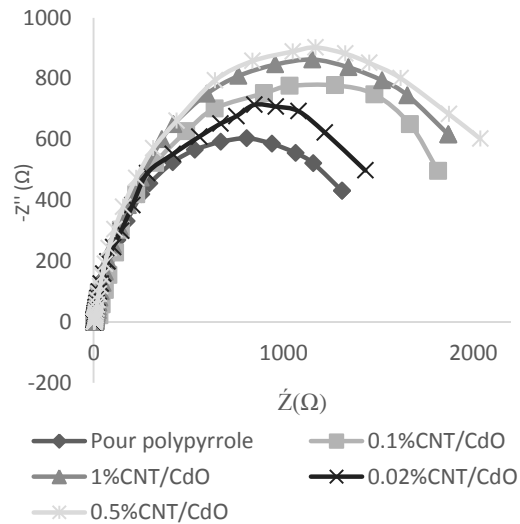
شرایط بهینه برای ایجاد یک فیلم یکنواخت نانو کامپوزیت پلی پیرول نانولوله کربنی / اکادمیم اکسید تعیین شد. در این شرایط پوشش تشکیل شده بر روی فولاد زنگ نزن آستنیتی 304 دارای کمترین تخلخل و بیشترین پیوستگی و یکنواختی بود. بهترین بازیسته برای تشکیل یک فیلم یکنواخت پلی پیرول در pH=9 به دست آمد. درروش اعمال چگالی جریان ثابت، چگالی جریان



شکل ۱۱ تصویر میکروسکوپ الکترونی روشی در مد SEM مربوط به (a) پوشش پلی پیرول خالص و (b) پوشش نانو کامپوزیت پلی پیرول نانولوله کربنی / اکادمیم اکسید در بزرگنمایی 2000

#### 7- بررسی بهینه درصد مواد تقویت‌کننده نانو کامپوزیت با استفاده از آزمون امپدانس الکتروشیمیایی

برای دست‌یابی به درصد بهینه استفاده از نانولوله‌های کربنی عامل دار شده با اکسید کادمیم در پوشش نهایی از نمونه‌های پوشش داده شده با پلی پیرول حاوی ۰.۰۲، ۰.۱، ۰.۵ و ۱ درصد وزنی- حجمی نانولوله کربنی / اکادمیم اکسید در محلول نیم مولار اسید کلریدریک آزمون امپدانس الکتروشیمیایی گرفته شد که نتایج حاصل در شکل ۱۲ آمده است. از مقایسه‌ی نمونه‌ی پوشش داده شده با پلی پیرول خالص در شرایط بهینه و نمونه‌های پوشش داده با نانو کامپوزیت پلی پیرول نانولوله کربنی / اکسید کادمیم میزان امپدانس بیشتر نمونه‌های نانو کامپوزیت مشهود است و این موضوع بیانگر بهبود خواص حفاظتی پوشش از خوردگی فولاد است.



شکل ۱۲ نمودار نایکوئیست مربوط به نمونه‌های پوشش داده شده با پلی پیرول خالص و پلی پیرول حاوی درصدهای مختلف نانولوله کربنی / اکسید کادمیم

بررسی پارامترهای مدار معادل نمونه‌های پوشش داده شده با نانو کامپوزیت در مقایسه با پوشش پلی پیرول خالص در جدول ۳ آمده است. بهوضوح مشخص است که مقاومت انتقال بار از 1234.1 KΩ.cm<sup>2</sup> برای نمونه‌ی پوشش داده شده با پلی پیرول خالص به 2038.3 KΩ.cm<sup>2</sup> برای نمونه‌ی پوشش داده شده با ۰.۵٪ وزنی حجمی نانولوله کربنی عامل دار شده افزایش

است تقدیر و تشکر می‌نمایند.

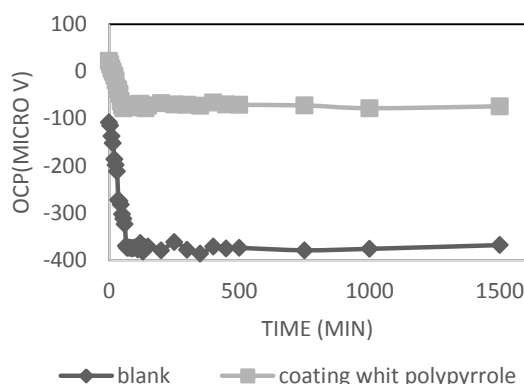


Fig. 14 Open circuit potential diagram in terms of immersion time

شکل ۱۴ نمودار پتانسیل مدارباز بر حسب زمان غوطه‌وری

جدول ۳ پارامترهای اجزاء مدار معادل بدست آمده از نمونه‌ی شاهد، نمونه‌ی پوشش داده شده با پلی پیرول خالص و نمونه‌های پوشش داده شده با پلی پیرول حاوی درصدهای مختلف نانولوله / اکسید کادمیم

Table 3 Parameters of the equivalent circuit components obtained from the control, a sample coated with pure polypyrrole and samples coated with polypyrrole containing different percentages of carbon nanotube / cadmium oxide

	$R_s (\Omega \cdot \text{cm}^2)$	$C_c (\text{fF} \cdot \text{cm}^{-2})$	$R_t (\Omega \cdot \text{cm}^2)$	$R_{ct} (\text{K}\Omega \cdot \text{cm}^2)$	Q		PE(%) = $\frac{R_{ct}-R_{ct0}}{R_{ct0}} * 100$
					n	$Y (\mu\text{F} \cdot \text{cm}^2)$	
Blank Sample	14.7	--	--	147.5	0.8	$8.27 \times 10^{-5}$	--
Pour polypyrrole	12.5	$5.48 \times 10^{-8}$	16.45	1234.1	0.89	$26.4 \times 10^{-5}$	88.04
0.02%CNT/CdO	11.8	$3.96 \times 10^{-8}$	17.69	1432	0.8	$18.8 \times 10^{-5}$	89.7
0.1%CNT/CdO	11.12	$4.59 \times 10^{-8}$	20.22	1817	0.8	$15.9 \times 10^{-5}$	91.88
0.5%CNT/CdO	13.1	$1.49 \times 10^{-8}$	23.99	2038.3	0.8	$15.8 \times 10^{-5}$	92.76
1%CNT/CdO	12.36	$2.83 \times 10^{-8}$	21.48	1870.99	0.8	$19.3 \times 10^{-5}$	92.1

Nanocomposites" Ceram. Int., Vol. 40, No. 6, pp. 8013–8020, 2014.

- [11] Hosseini, MG. Bagheri, R. and Najjar, R., "Electropolymerization of Polypyrrole and Polypyrrole-ZnO Nanocomposites on Mild Steel and Its Corrosion Protection Performance" Journal of Applied Polymer Science, Vol. 121, pp. 3159–3166, 2011.
- [12] Alam, R. Mobin, M. and Aslam, J., "Surface & Coatings Technology Polypyrrole / graphene nanosheets / rare earth ions / dodecyl benzene sulfonic acid nanocomposite as a highly effective anticorrosive coating" Surf. Coat. Technol, Vol. 307, pp. 382–391, 2016.
- [13] Kaushik, BK. and Majumder, MK., "Carbon Nanotube Based VLSI Interconnects, Analysis and Design, Indian Institute of Technology Roorkee" Springer, Springer New Delhi Heidelberg New York Dordrecht London, Chapter 2, pp. 17-30, 2015.
- [14] Sun, Y. Sun, J. Liu, M. and Chen, Q., "Mechanical Strength of Carbon Nanotube–Nickel Nanocomposites" Nanotechnology, Vol. 18, No. 50, p. 505704(6), 2007.
- [15] Dai, H. "Carbon Nanotubes : Synthesis, Integration, and Properties" Acc. Chem. Res, Vol. 35, pp. 1035–1044, 2002.
- [16] McEuen, PL. and Park, J. Y., "E lectron Transport in Single-Walled Carbon Nanotubes" Mrs Bulletin, Vol.29, No. April, pp. 273-275, 2004.
- [17] Cook, BG. French, W. R. and Varga, K., "Electron Transport Properties of Carbon Nanotube-Graphene Contacts" Appl. Phys. Lett., Vol. 101, No. 15, pp. 10–13, 2012.
- [18] Yao, Z. Kane, C. and Dekker, C., "High-Field Electrical Transport in Single-Wall Carbon Nanotubes" Phys. Rev. Lett., Vol. 84, No. 13, pp. 2941–2944, 2000.
- [19] Asli, NA. Shamsudin, MS. Falina, AN. Azmina, MS. Suriani, AB. Rusop, M. and Abdullah, S., "Field Electron Emission Properties of Vertically Aligned Carbon Nanotubes Deposited on a Nanostructured Porous Silicon Template: The Hidden Role of The Hydrocarbon/Catalyst Ratio" Microelectron. Eng., Vol. 108, pp. 86–92, 2013.
- [20] Tripathi, AK. Jain, V. Saini, K. and Lahiri, I., "Field Emission Response from Multi-Walled Carbon Nanotubes Grown On

بهینه برای پوشش دهی  $4 \text{mA/cm}^2$  تعیین شد. افزودن نانوکامپوزیت نانولوله کربنی/کادمیم اکسید به پلی پیرول از طرفی میزان رسانندگی پوشش را افزایش می‌دهد. از طرف دیگر، با در هم تنیدگی نانولوله‌ها و پیوستگی آن‌ها در کل سطح، میزان تخلخل و غیرین واختی‌های موجود در پلی پیرول را کاهش می‌دهد و در جلوگیری از رسیدن الکترولیت به سطح فلز و نفوذ آن به درون پوشش نقش بسزایی ایفا می‌کند. میزان بهینه تقویت کننده نانولوله کربنی/کادمیم اکسید ۰.۵٪ وزنی-حجمی محلول پلیمریزاسیون به دست آمد. ضخامت پوشش‌ها با استفاده از تصویر سطح مقطع حدود ۱۲۵ میکرومتر تخمین زده شد.

## 5-سپاسگزاری

در پایان محققان از دانشگاه تحصیلات تکمیلی صنعتی و فناوری پیشرفت‌هه کرمان که با حمایت مالی خود نقش مهمی در انجام این تحقیق ایفا کرده

## 6-مراجع

- [1] Olad, A. and Naseri. B., "Preparation, Characterization and Anticorrosive Properties of a Novel Polyaniline/Clinoptilolite Nanocomposite" Prog. Org. Coatings, Vol. 67, No. 3, pp. 233–238, 2010.
- [2] Duchet, J. Legras, R. and Demoustier-champagne, S., "Chemical Synthesis of Polypyrrole: Structure – Properties Relationship" Synthetic Metals, Vol. 98, No. July, pp. 113–122, 1998.
- [3] Lu, G. Li, C. and Shi, G., "Polypyrrole Micro and Nanowires Synthesized by Electrochemical Polymerization of Pyrrole in The Aqueous Solutions Of Pyrenesulfonic Acid" Polymer, Vol. 47, pp. 1778–1784, 2006.
- [4] Kamal, MM. and Bhuiyan, AH., "Direct Current Electrical Conduction Mechanism in Plasma Polymerized Pyrrole Thin Films Kamal & Bhuiyan" Synthetic Metals, Vol. 2, No. 2, pp. 1–9, 2014.
- [5] Wang, J. K. Neoh, G. and Kang, E. T., "Comparative Study of Chemically Synthesized and Plasma Polymerized Pyrrole and Thiophene Thin Films" Thin Solid Films, Vol. 446, pp. 205–217, 2004.
- [6] Sharifirad, M. Omrani, A. Rostami, A. A. and Khoshroo, M., "Electrodeposition and Characterization of Polypyrrole Films On Copper" J. Electroanal. Chem., Vol. 645, No. 2, pp. 149–158, 2010.
- [7] Skotheim, TA. and Reynolds, JR., "Handbook of Conducting Polymers, processing and application, CRC Press" Taylor & Francis Group, Vol. II, Chapter 8, Marcel Dekker, NewYork, pp. 8.1–8.13, 1997.
- [8] Gholami, M. Ghasemi, A. Loghavi, MM. Behkami, S. and Ahmadi-dokht-faraghe, A., "Preparation of a Miniaturised Iodide Ion Selective Sensor Using Polypyrrole and Pencil Lead : Effect of Double-Coating, Electropolymerisation Time, and Current Density" Chemical Papers, Vol. 67, No. 8, pp. 1079–1086, 2013.
- [9] Tsai, M. Chen, P. and Do, J., "Preparation and characterization of Ppy / Al<sub>2</sub>O<sub>3</sub> / Al Used as a Solid-State Capacitor" Journal of Power Sources, Vol. 133, pp. 302–311, 2004.
- [10] Navale, ST. Khuspe, GD. Chougule, M. A. and Patil, VB. "Room Temperature NO<sub>2</sub> Gas Sensor Based on Ppy / A -Fe<sub>2</sub>O<sub>3</sub> Hybrid

Electrochemically Engineered Copper Foil” Mater. Chem. Phys., Vol. 187, pp. 39–45, 2017.

- [21] Okuyama, H. Iwata, N. and Yamamoto, H., “Position-Selective Growth of Vertically Aligned Carbon Nanotubes for Application of Electronic-Measuring Nanoprobes” Phys. E Low-Dimensional Syst. Nanostructures, Vol. 37, No. 1, pp. 49–53, 2007.
- [22] De Nicola, F. Salvato, M. Cirillo, C. Crivellari, M. Boscardin, M. Passacantando, M. Nardone, M. De Matteis, F. Motta, N. De Crescenzi, M. and Castrucci, P., “100% Internal Quantum Efficiency in Polychiral Single-Walled Carbon Nanotube Bulk Heterojunction/Silicon Solar Cells” Carbon N. Y., Vol. 114, No. 2017, 2017.
- [23] Alimohammadi, V. Sedighi, M. and Jabbari, E., “Experimental Study on Efficient Removal Of Total Iron From Wastewater Using Magnetic-Modified Multi-Walled Carbon Nanotubes,” Ecol. Eng., Vol. 102, pp. 90–97, 2017.
- [24] Hayati, B. Maleki, A. Najafi, F. Daraei, H. Gharibi, F. and McKay, G., “Synthesis and Characterization of PAMAM/CNT Nanocomposite as a Super-Capacity Adsorbent for Heavy Metal ( $\text{Ni}^{2+}$ ,  $\text{Zn}^{2+}$ ,  $\text{As}^{3+}$ ,  $\text{Co}^{2+}$ ) Removal From Wastewater” J. Mol. Liq., Vol. 224, pp. 1032–1040, 2016.
- [25] Xu, D. Li, B. Wei, C. He, YB. Du, H. Chu, X. Qin, X. Yang, Q. H. and Kang, F., “Preparation and Characterization of  $\text{MnO}_2$ /acid-treated CNT Nanocomposites for Energy Storage with Zinc Ions” Electrochim. Acta, Vol. 133, pp. 254–261, 2014.
- [26] Aravindan, N. Sangaranarayanan, M. V., “Influence of Solvent Composition on the Anti-Corrosion Performance of Copper-Polypyrrole ( $\text{Cu-Ppy}$ ) Coated 304 Stainless Steel”. Progress in Organic Coatings. 2016 Jun 30; 95:38–45.
- [27] Kumar, A. M. Rajendran, N., “Influence of Zirconia Nanoparticles on the Surface and Electrochemical Behaviour of Polypyrrole Nanocomposite Coated 316L SS in Simulated Body Fluid”. Surface and Coatings Technology. 2012 Dec 31; 213:155–66.
- [28] Ruhi, G. Modi, OP. Dhawan, SK., “Chitosan-Polypyrrole- $\text{SiO}_2$  Composite Coatings with Advanced Anticorrosive Properties.Synthetic Metals”. 2015 Feb 28; 200:24–39.
- [29] Alam, R. Mobin, M. Aslam, J., “Polypyrrole/Graphene Nanosheets/rare Earth Ions/dodecyl Benzene Sulfonic Acid Nanocompositeas a Highly Effective Anticorrosive Coating”. Surface and Coatings Technology. 2016 Dec 15; 307:382–91.
- [30] Ananth, K. P. Nathanael, A. J. Jose, S. P. Oh, T. H. Mangalaraj, D., “a Novel Silica Nanotube Reinforced Ionic Incorporated Hydroxyapatite Composite Coating on Polypyrrole Coated 316L SS For Implant Application”. Materials Science and Engineering: C. 2016 Feb 1; 59:1110–24.
- [31] Feng, J. Xiong, S. Qian, Y. and Yin, L., “Synthesis of Nanosized Cadmium Oxide ( $\text{CdO}$ ) as a Novel High Capacity Anode Material for Lithium-Ion Batteries: Influence of Carbon Nanotubes Decoration and Binder Choice” Electrochim. Acta, Vol. 129, pp. 107–112, 2014.
- [32] Badawi, A. Al-Hosiny, N. Abdallah, S. Merazga, A. and Talaat, H., “Single Wall Carbon Nanotube/Titania Nanocomposite Photoanodes Enhance The Photovoltaic Performance of Cadmium Selenide Quantum Dot-Sensitized Solar Cells” Mater. Sci. Semicond. Process. Vol. 26, No. 1, pp. 162–168, 2014.
- [33] Aeiyach, S. Aaron, J. J. and Diderot, D., “Of Strongly Adherent Coating on Iron and Mild Steel in Aqueous Media” Vol. 41, No. 1, pp. 1801–1809, 1996.
- [34] Pan, TJ. Zuo, XW. Wang, T. Hu, J. Chen, ZD. Ren, Y. J., “Electrodeposited Conductive Polypyrrole/Polyaniline Composite Film For the Corrosion Protection of Copper Bipolar Plates in Proton Exchange Membrane Fuel Cells”. Journal of Power Sources. 2016 Jan 20; 302: 180–8.
- [35] Ruhi, G. Bhandari, H. Dhawan, S. K., “Designing of Corrosion Resistant Epoxy Coatings Embedded With Polypyrrole/ $\text{SiO}_2$  Composite”. Progress in Organic Coatings. 2014 Sep 30; 77(9):1484–98.

